

УДК 517.583,517.927,624.072.21

## К РАСЧЕТУ НЕЛИНЕЙНОГО ПРОДОЛЬНОГО ИЗГИБА СТЕРЖНЯ

© 2021 г. К. Н. Анахаев

*Институт прикладной математики и автоматизации Кабардино-Балкарского научного центра  
Российской академии наук, Нальчик, Россия*

*e-mail: anaha13@mail.ru*

Поступила в редакцию 09.05.2020 г.

После доработки 11.08.2020 г.

Принята к публикации 07.09.2020 г.

Рассматривается классическая задача нелинейного продольного изгиба стержня от действия сжимающей продольной силы. Получены расчетные зависимости в элементарных функциях для прямого аналитического определения основных параметров изогнутого стержня, таких как координаты очертания стержня, изгибаемые углы по длине стержня, эпюры моментов силы и внутренней энергии изгиба. Сравнение полученных расчетных значений с результатами известных (базовых) решений (Сикорского Ю.С., Попова Е.П., Захарова Ю.В. – Охоткина К.Г.) дало, в целом, достаточно близкую сходимость результатов ( $\sim 1-2\%$ ), приведены примеры расчета, в том числе со сравнением с данными линейного расчета. Полученные результаты могут быть использованы как для теоретических исследований, так и для инженерных расчетов на практике, в частности при определении (обратным методом) жесткости стержней произвольного поперечного сечения, либо модуля упругости различных материалов (композитных) при известных сечениях стержня, в том числе при конструировании защитных сооружений от опасных склоновых геофизических процессов и др.

*Ключевые слова:* продольный изгиб, нелинейная задача, эллиптические функции, эллиптические интегралы 1 и 2 рода, изгибающий момент сил, внутренняя энергия изгиба

DOI: 10.31857/S0572329921040024

**Введение.** В статье рассматривается классическая задача нелинейного продольного изгиба тонкого упругого стержня от действия сжимающей продольной силы. Результаты имеющихся аналитических решений указанной задачи представлены в сложных эллиптических функциях Якоби (не выражающихся через элементарные функции) и определение по ним основных параметров изогнутого стержня, таких как координаты очертания стержня, изгибаемые углы по длине стержня, эпюры моментов силы и внутренней энергии изгиба, предполагает использование при проведении прикладных исследований численных методов.

**Материалы и методы исследований.** Строгое решение классической задачи нелинейного продольного изгиба тонкого упругого стержня длиной  $L$  с жестко защемленным одним концом в центре координат  $xOy$ , на другой свободный конец которого действует продольная сжимающая сила  $P$  (рис. 1), рассматривалась в работах [1–4]. В частно-

сти, для данного случая на основе уравнения равновесия стержня, приведенного к виду уравнения нелинейного маятника [3–6]

$$\frac{d^2\theta}{dl^2} + \frac{P}{EJ} \sin \theta = \frac{d^2\theta}{dt^2} + \beta^2 \sin \theta = 0 \quad (1)$$

получено решение для определения значения угла  $\theta$  между касательной к текущей точке изогнутого стержня и осью  $Ox$  в виде

$$\theta = 2 \arcsin [\lambda \cdot \operatorname{sn}(u, \lambda)] \quad (2)$$

В формулах (1) и (2) даны следующие обозначения:  $E$  – модуль упругости материала стержня;  $J$  – момент инерции сечения стержня;  $EJ$  – изгибная жесткость стержня;  $l$  – текущее значение длины дуги стержня;  $t = l/L$  – приведенная длина стержня;  $\beta = \sqrt{\frac{PL^2}{EJ}}$  – силовой коэффициент подобия [3];  $\operatorname{sn}(u, \lambda)$  – эллиптический синус Якоби при модуле  $\lambda = \sin \alpha$  ( $\alpha$  – модулярный угол) и аргументе  $u = K(\lambda) \cdot t$ , где  $K(\lambda)$  – полный эллиптический интеграл 1 рода при модуле  $\lambda$ .

При этом собственное (относительное) значение силы  $\bar{P}$  [2, 4, 5] для рассматриваемой схемы будет равно

$$\bar{P} = \frac{P}{P_E} = \left(\frac{2}{\pi}\right)^2 K^2 \quad (3)$$

где  $P_E = \left(\frac{\pi}{2}\right)^2 \frac{EJ}{L^2}$  – эйлерова критическая сила.

В формуле (3) и далее обозначение модуля  $\lambda$  в эллиптических интегралах и функциях опущено для упрощения записей, то есть  $K(\lambda) \equiv K$ ,  $K'(\lambda) \equiv K'$ ,  $E(\lambda) \equiv E$ ,  $E(\varphi, \lambda) \equiv E(\varphi)$ ,  $\operatorname{sn}(u, \lambda) \equiv \operatorname{sn}(u)$ ,  $\operatorname{cn}(u, \lambda) \equiv \operatorname{cn}(u)$ ,  $\operatorname{dn}(u, \lambda) \equiv \operatorname{dn}(u)$ .

В результате интегрирования соотношений  $dx/dl = \cos \theta = 1 - 2\lambda^2 \operatorname{sn}^2(u)$  и  $dy/dl = \sin \theta = 2\lambda \cdot \operatorname{sn}(u) \operatorname{dn}(u)$ , где  $\operatorname{dn}(u)$  – эллиптическая дельта-функция Якоби, вдоль длины стержня и преобразований в [4] получены расчетные зависимости для определения координат  $x$  и  $y$  изогнутой оси стержня в зависимости от значений эллиптических интегралов и функций Якоби в виде (при  $L = 1$ ):

$$x = -t + \frac{2}{K} E[\operatorname{am}(u)], \quad y = \frac{2\lambda}{K} [1 - \operatorname{cn}(u)] \quad (4)$$

в которых  $\operatorname{cn}(u)$  – эллиптический косинус Якоби;  $E[\operatorname{am}(u)]$  – неполный эллиптический интеграл 2 рода при эллиптической амплитуде Якоби [7–9]  $\operatorname{am}(u) = \arcsin[\operatorname{sn}(u)]$ , аргументе  $u$  и модуле  $\lambda$ .

Следует отметить, что выполнение прикладных аналитических расчетов для инженерных задач по полученным зависимостям (4) с эллиптическими функциями и интегралами (не выражающимися через элементарные функции) представляет собой значительные математические трудности, связанные с использованием специальных графиков и таблиц, необходимостью нелинейно-перекрестного (и обратного) интерполирования их данных и т.д. Результаты же численных решений, определяя дискретные значения специальных функций (интегралов) в отдельных точках, ограничены в возможностях выявления обобщенных причинно-следственных связей исходных факторов и оценке их влияния на итоговые результаты [11–14].

В связи с этим, ниже приводятся расчетные зависимости, позволяющие выразить вышеизложенные результаты в элементарных функциях, полученных на основе гид-

ромеханических решений (с погрешностью  $\ll 1-2\%$ ), с расширением области определяемых характеристик стержня.

При этом для прямого расчета эллиптического синуса Якоби  $\text{sn}(u)$  получена новая формула, основанная на работах [11, 12, 15], в виде:

$$\text{sn}(u) = \frac{(1 + R^{-2}) \sin\left(\frac{\pi u}{2K}\right)}{1 + R^{-2} \cdot \sin^2\left(\frac{\pi u}{2K}\right)} \quad \left( \text{при } \frac{K'}{2K} \geq 1 \text{ или } \lambda \leq 0.171259 \right) \quad (5)$$

$$\text{sn}(u) = \frac{(\xi^* - n)(1 - m)}{\xi^*(1 + m - 2n) + n(1 + m) - 2m} \quad \left( \text{при } \frac{K'}{2K} < 1 \text{ или } \lambda > 0.171259 \right) \quad (6)$$

в которых

$$R = \text{ch}\left(\frac{\pi K'}{2K}\right), \quad \xi^* = \frac{2}{r} \frac{\text{ch}\left[\frac{\pi}{K'}(u + K)\right]}{1 + r^{-2} \text{ch}^2\left[\frac{\pi}{K'}(u + K)\right]} \quad (7)$$

$$m = \frac{2r}{1 + r^2}, \quad n = \frac{2}{r} \cdot \frac{\text{ch}\left(\frac{\pi K}{K'}\right)}{1 + r^{-2} \cdot \text{ch}^2\left(\frac{\pi K}{K'}\right)}, \quad r = \text{ch}\left(\frac{2\pi K}{K'}\right), \quad u = K \cdot t$$

При этом эллиптический косинус Якоби  $\text{cn}(u)$  равен [1, 7, 8]  $\text{cn}(u) = \sqrt{1 - \text{sn}^2(u)}$ .

Значения  $K$  и  $K'$  (полного эллиптического интеграла 1 рода при дополнительном модуле  $\lambda' = \sqrt{1 - \lambda^2}$ ) могут быть определены по зависимостям [10–14]:

$$K = \frac{\pi}{2} + \frac{\ln \sqrt{1 - \lambda^2}}{\ln[0.35(1 - 0.2\sqrt{1 - \lambda^2})]} \quad (8)$$

$$K' = \frac{2K}{\pi} \text{Arch} \frac{1 + \sqrt{1 - \lambda^2}}{\lambda} \quad (\text{при } \lambda \leq 0.45) \quad (9)$$

$$K' = \frac{\pi}{2} + \frac{\ln \lambda}{\ln[0.35(1 - 0.2\lambda)]} \quad (\text{при } \lambda > 0.45)$$

В зависимости (4) величина неполного эллиптического интеграла 2 рода  $E[\text{am}(u)]$  находится по нижеследующим усовершенствованным формулам (10) [14], подставляя в них вместо  $\varphi$  величину эллиптической амплитуды Якоби  $\text{am}(u) = \arcsin[\text{sn}(u)]$ , в котором значение эллиптического синуса Якоби  $\text{sn}(u)$  рассчитывается по (5)–(9):

$$E(\varphi) = \begin{cases} \varphi - (\varphi - \sin \varphi) \frac{\alpha_0}{90^\circ}, & 0 \leq \varphi \leq 1 \\ \left[ 2E + \left( 1 - 0.1\pi \frac{\alpha_0}{180^\circ} \right) \frac{\pi - 2\varphi}{\varphi - 1} \right] \frac{\varphi - 1}{\pi - 2}, & 1 < \varphi \leq \frac{\pi}{2} \end{cases} \quad (10)$$

где  $\alpha_0 = \frac{\alpha}{\pi} \cdot 180^\circ$  – модулярный угол (в градусах);  $E$  – полный эллиптический интеграл 2 рода, определяемый по [10, 12, 13]:

$$E = \ln \sqrt{e^\pi - (e^\pi - e^2) \cdot \lambda^2} \quad (11)$$

**Результаты исследования и их обсуждение.** Значения  $E(\varphi)$ , полученные по зависимостям (10), достаточно близко (~1%) согласуются с графиками точного решения [7, 9], а для граничных участков полностью совпадают с точными формулами. В частности, при  $\alpha_0 = 0; \pi/2$  и  $\varphi = 0; \pi/2$ , соответственно,  $E(\varphi, 0) = \varphi$ ;  $E(\varphi, 1) = \sin \varphi$  и  $E(0, \lambda) = 0$ ;  $E(\pi/2, \lambda) = E$ .

Таким образом, подставляя значения рекомендуемых расчетных зависимостей в элементарных функциях (5)–(11) в формулы (4), полностью рассчитываются координаты изогнутой оси стержня для заданных значений модуля  $\lambda$ . При этом, для свободного конца стержня (точки  $A: t = 1, u = K$ ) формулы (4) получают вид:

$$x_A = 2 \frac{E}{K} - 1, \quad y_A = 2 \frac{\lambda}{K} \quad (12)$$

Значения изгибающих моментов в любой точке стержня определяются по формуле [1]  $M = \bar{P}(y_A - y)$ , подставляя в которую величины  $y_A, y$  из (12), (4) и преобразовывая, окончательно получим

$$M = 2\bar{P} \frac{\lambda}{K} \text{cn}(K \cdot t) \quad (13)$$

Изгибающий момент  $M$  для концевой свободной точки стержня ( $t = 1$ ) и точки заделки ( $t = 0$ ) имеет, соответственно, минимальное (нулевое) и максимальное значения,  $M_{\min} = 0$  и  $M_{\max} = 2\bar{P}\lambda/K$ .

Аналогично, угол  $\theta$  между касательной к текущей точке изогнутого стержня и осью  $Ox$  (см. рис. 1), определяемый по формуле (2), для точек  $t = 1$  и  $t = 0$  принимает значения, соответственно,  $\theta_{\max} = 2 \arcsin(\lambda)$  и  $\theta_{\min} = 0$ .

Приращение угла изгиба  $\theta$  вдоль длины стержня определится производной

$$\theta' = \frac{d\theta}{dt} = -2\lambda K \cdot \text{cn}(K \cdot t) \quad (14)$$

с максимальным значением  $\theta'_{\max}$  в точке заделки ( $t = 0$ ), равным  $\theta'_{\max} = -2\lambda K$ .

Внутренняя энергия изгиба стержня  $V$  определится (при  $\varphi = 0$ ) по зависимости [3]

$$V = \bar{P}L \left\{ \frac{2}{\beta} [E - E(\varphi)] - 2(1 - \lambda^2) \right\} = 2\bar{P}L \left( \frac{E}{\beta} + \lambda^2 - 1 \right) \quad (15)$$

Вышеприведенные расчетные зависимости в элементарных функциях при заданных значениях модуля  $\lambda$  позволяют напрямую рассчитать все необходимые характеристики продольно изогнутого стержня. Для исходной же заданной величины силовой нагрузки  $\bar{P}$  значение модуля  $\lambda$  находится методом подбора из зависимости (3), подставляя в нее вместо  $K$  его значение из формулы (8).

В нижеследующих таблицах 1 и 2 дается сравнение значений координат изогнутого стержня, подсчитанных по рекомендуемым зависимостям (4)–(12) с результатами базового решения Сикорского Ю.С. [1, с. 74, таблицы  $a, b$ ], основанного на нелинейно-перекрестном (и обратном) интерполировании табличных данных, соответственно, при силовой нагрузке  $\bar{P} = 1.293$  для заданных значений амплитуды  $\varphi = \text{am}(u) = \arcsin[\text{sn}(K \cdot t)]$ , равных  $0; 30^\circ; 60^\circ; 90^\circ$ , и для концевой точки ( $t = 1$ ) стержня при раз-

**Таблица 1.** Координаты изогнутого стержня при  $\bar{P} = 1.293$  и заданных амплитудах  $\varphi$ 

Амплитуда $\varphi$ (в град.)	Приведенная длина стержня $t$	Координата $x$			Координата $y$		
		базовое решение [1]	по автору (4)–(12)	%	базовое решение [1]	по автору (4)–(12)	%
0	0	0	0	0	0	0	0
30	0.299	0.277	0.275	–0.6	0.096	0.096	0
60	0.629	0.469	0.457	–2.5	0.360	0.358	–0.7
90	1	0.560	0.577	+3.0	0.720	0.715	–0.7

**Таблица 2.** Координаты концевой точки изогнутого стержня при силовых нагрузках  $\bar{P}$ 

Номера	Силовая нагрузка $\bar{P}$	Координата $x$			Координата $y$		
		базовое решение [1]	по автору (4)–(12)	%	базовое решение [1]	по автору (4)–(12)	%
I	1.015	0.970	0.972	+0.2	0.220	0.219	–0.3
II	1.064	0.881	0.887	+0.8	0.422	0.422	0
III	1.152	0.741	0.752	+1.5	0.593	0.593	0
IV	11.293	0.560	0.577	+3.0	0.720	0.718	–0.2
V	1.518	0.349	0.363	+4.2	0.792	0.787	–0.6
VI	1.884	0.123	0.131	+6.5	0.803	0.799	–0.5
VII	2.541	–0.107	–0.108	+1.2	0.750	0.748	–0.3
VIII	4.029	–0.340	–0.345	+1.4	0.625	0.624	–0.1
IX	9.116	–0.577	–0.578	+0.1	0.421	0.421	0

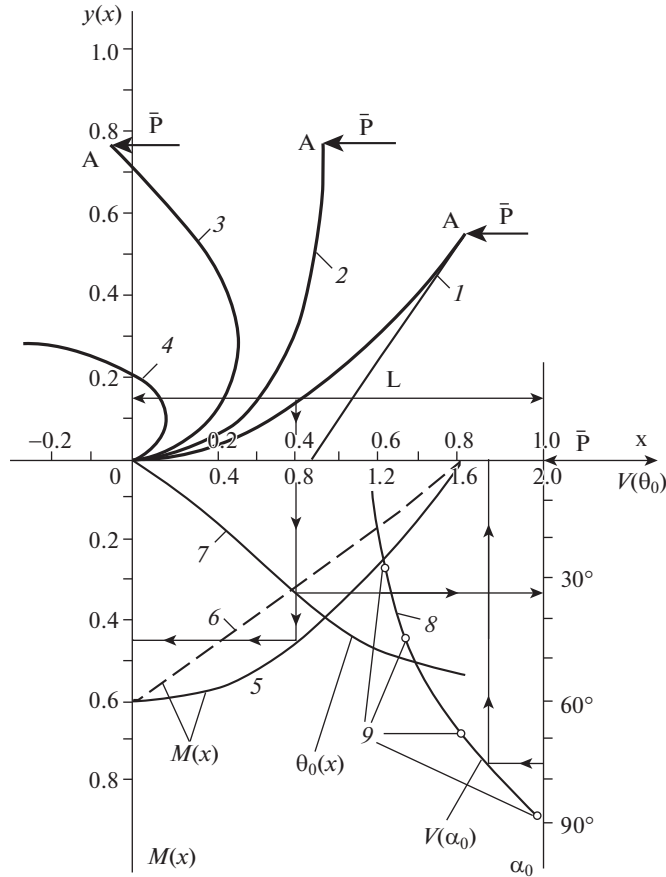
личных (девяти) значениях силовой нагрузки  $\bar{P}$ . При этом значения  $t$  получены обратным расчетом из заданных величин амплитуды  $\varphi$ .

Как следует из таблиц 1 и 2, результаты подсчетов координат изогнутого стержня, в том числе и концевой точки стержня, при различных значениях силовой нагрузки  $\bar{P}$  и амплитуд  $\varphi$ , подсчитанные по предлагаемым зависимостям на основе элементарных функций (4)–(12), достаточно близко (в целом  $\sim$  до 2–3%) согласуются с результатами базового решения Сикорского Ю.С. [1], основанным на нелинейно-перекрестном (и обратном) интерполировании табличных данных (Примечание: Отдельные отклонения в таблицах по координате  $x$  могут быть обусловлены, в частности, погрешностями интерполяции в базовом решении [1]).

Кроме этого, расчет по формулам (4)–(12) абсциссы концевой точки изогнутого стержня для заданной силовой нагрузки  $\bar{P} = 2.160$  показал близкое совпадение ( $x = 0.011$ ) с нулевым значением точного решения Попова Ю.С. [3, рис. 5.4, с. 114].

На рисунке приведена схема изогнутого стержня от действия продольной силовой нагрузки  $\bar{P}$  с рассчитанными по рекомендуемым формулам (4)–(12) значениями:

– для заданных величин  $\lambda^2$ , равных  $\sqrt{0.2}$  ( $\alpha = 0.1476\pi$ ),  $\sqrt{0.5}$  ( $\alpha = 0.25\pi$ ),  $\sqrt{0.85}$  ( $\alpha = 0.3734\pi$ ),  $\sqrt{0.99999}$  ( $\alpha = 0.4990\pi$ ) (кривые 1–4), близко совпадающих с очертаниями указанных кривых по численному расчету [4, рис. 3, с. 129];



**Рис. 1.** Расчетная схема продольного изгиба стержня: 1–4 – очертания изогнутых стержней для заданных значений  $\lambda^2$ , равных  $\sqrt{0.2}$ ,  $\sqrt{0.5}$ ,  $\sqrt{0.85}$ ,  $\sqrt{0.99999}$ ; 5, 6 – эпюры моментов силы  $M(x)$  по длине стержня при  $\lambda^2 = \sqrt{0.2}$  для нелинейной и линейной задач; 7, 8 – графики углов изгиба  $\theta_0(x)$  по длине стержня при  $\lambda^2 = \sqrt{0.2}$  и внутренней энергии изгиба стержня  $V(\alpha_0)$  в зависимости от модулярного угла  $\alpha_0$ ; 9 – точки энергии изгиба  $V(\alpha_0)$ , соответствующие стержням с значениями  $\lambda^2$ , равными  $\sqrt{0.2}$ ,  $\sqrt{0.5}$ ,  $\sqrt{0.85}$ ,  $\sqrt{0.99999}$ .

– для эпюр изгибающих моментов силы  $M(x)$  по длине стержня при значении  $\lambda^2 = \sqrt{0.2}$  с учетом нелинейности (кривая 5) и линейной задачи (прямая 6);

– для графиков углов изгиба  $\theta_0(x) = \frac{\theta}{\pi} \cdot 180^\circ$  (между касательной к текущей точке и осью  $0x$  – в градусах) при  $\lambda^2 = \sqrt{0.2}$  (кривая 7) и внутренней энергии изгиба стержня  $V(\alpha_0)$  в зависимости от значений модулярного угла  $\alpha_0$  (кривая 8);

– для точек на кривой внутренней энергии изгиба  $V(\alpha_0)$ , соответствующих стержням с значениями  $\lambda^2$ , равными  $\sqrt{0.2}$ ;  $\sqrt{0.5}$ ;  $\sqrt{0.85}$ ;  $\sqrt{0.99999}$  (точки 9).

Как следует из рисунка, максимальные значения изгибающих моментов  $M(x)$  и внутренней энергии изгиба  $V(\alpha_0)$  сосредоточены в начальной точке задела стержня  $O$ ,

в которой угол  $\theta_0(x)$  сопряжения с осью  $Ox$  имеет нулевое значение. При этом сравнительная оценка эпюр изгибающих моментов по длине стержня для нелинейной (кривая 5) и линейной (прямая 6) задач показывает значительное занижение значений последней. В частности, занижение значений для рассмотренного случая изгибаемого стержня при  $\lambda^2 = \sqrt{0.2}$  достигает до 30% и более, что указывает на неприемлемость применения “чисто линейного” метода при решении прикладных задач на практике.

**Заключение.** В работе рассматривается классическая задача нелинейного продольного изгиба стержня от действия сжимающей продольной силы. При этом получены расчетные зависимости в элементарных функциях для прямого аналитического определения основных параметров изогнутого стержня, таких как координаты очертания стержня, изгибаемые углы по длине стержня, эпюры моментов силы и внутренней энергии изгиба. Сравнение полученных расчетных значений с результатами известных (базовых) решений (Сикорского Ю.С., Попова Е.П., Захарова Ю.В. – Охоткина К.Г.) дало в целом достаточно близкую сходимость результатов (~1–2%), приведены примеры расчета, в том числе с сравнением с данными линейного расчета. Полученные результаты могут быть использованы как для теоретических исследований, так и для инженерных расчетов на практике, в том числе и при определении (обратным методом) жесткости стержней произвольного поперечного сечения, либо модуля упругости различных материалов (композитных) при известных сечениях стержня, в том числе при конструировании защитных сооружений от опасных склоновых геофизических процессов и др.

#### СПИСОК ЛИТЕРАТУРЫ

1. Сикорский Ю.С. Элементы теории эллиптических функций с приложениями к механике. М.–Л.: НКТП СССР, 1936. 365 с.
2. Коллатц Л. Задачи на собственные значения с техническими приложениями. М.: Наука, 1968. 503 с.
3. Попов Е.П. Теория и расчет гибких упругих стержней. М.: Наука, 1986. 294 с.
4. Захаров Ю.В., Охоткин К.Г. Нелинейный изгиб тонких упругих стержней // Прикладная механика и техническая физика. 2002. Т. 43. № 5. С. 124–131.
5. Захаров Ю.В., Захаренко А.А. Динамическая потеря устойчивости в нелинейной задаче о консоли // Вычислительные технологии. 1999. Т. 4. № 1. С. 48–54.
6. Анахаев К.Н. К расчету математического маятника // Доклады Академии наук. 2014. Т. 459. № 3. С. 288–293.
7. Янке Е., Эмде Ф., Леш Ф. Специальные функции. М.: Наука, 1977. 342 с.
8. Милн-Томсон Л. Эллиптические функции Якоби и тэта-функции / Справочник по специальным функциям. Под ред. Абрамовица М., Стиган И. М.: Наука, 1979. С. 380–400.
9. Милн-Томсон Л. Эллиптические интегралы / Справочник по специальным функциям. Под ред. Абрамовица М., Стиган И. М.: Наука, 1979. С. 401–441.
10. Анахаев К.Н. О методах расчёта потенциальных (фильтрационных) потоков на основе эллиптических интегралов Якоби // Гидротехническое строительство. 2008. № 8. С. 7–9.
11. Анахаев К.Н. О совершенствовании гидромеханических методов расчета потенциальных (фильтрационных) потоков // “Инженерные системы – 2009”. Труды междунар. науч.-практ. конф. Т. 2. М.: РУДН, 2009. С. 588–595.
12. Анахаев К.Н. Об определении эллиптических функций Якоби // Вестник РУДН. Серия: Математика. Информатика. Физика. 2009. № 2. С. 90–95.
13. Анахаев К.Н. О полных эллиптических интегралах 3-го рода в задачах механики // Доклады Академии наук. 2017. Т. 473. № 2. С. 151–153.
14. Анахаев К.Н. Эллиптические интегралы в нелинейных задачах механики // Доклады Российской Академии наук. Физика. Технические науки. 2020. Т. 491. № 2. С. 24–29.
15. Анахаев К.Н. О расчете потенциальных потоков // Доклады Академии наук. 2005. Т. 401. № 3. С. 337–341.